

# 渤海湾海域潮流数值计算

孙长青，郭耀同，赵可胜

(中国海洋大学 环境科学与工程学院, 山东 青岛 266003)

**摘要:**采用不规则三角形网格的分步杂交法, 建立渤海湾海域二维变边界潮流数值模型, 重现该海域潮波及潮流的时空分布, 计算得到  $M_2$  分潮和  $K_1$  分潮的同潮时线与等振幅线、潮流椭圆及不同时刻潮流场分布。计算结果与实测资料对比验证吻合良好。

**关键词:**渤海湾; 潮流; 潮波; 数值计算

**中图分类号:**P731.2; P752   **文献标识码:**A   **文章编号:**1000-3096(2004)-08-0033-05

渤海湾海域大部分区域的潮汐性质属不规则半日潮, 惟有黄河口附近属不规则全日潮性质, 最大可能潮差 3~4 m; 潮流性质基本呈规则半日潮流, 惟有渤海湾口北部一小区域属不规则半日潮流性质, 最大可能潮流 100 cm/s 左右; 最大海图水深 25 m 左右, 位于渤海湾中部偏北海域。

潮流数值模型建成后, 可以对模型海域的水动力状况进行更为细致的定量分析研究, 并可在此基础上对海岸工程建成后物理自净能力的变化、泥沙运动、污染物扩散、排污口选址以及人为造成的海水温升等进行预测, 在科学地保护海洋环境的前提下, 充分利用海洋的自净能力, 开发利用海洋自然资源。

## 1 计算方法

作者采用不规则三角形网格的分步杂交方法<sup>[1]</sup>, 建立渤海湾海域二维变边界潮流数值模型, 计算网格见图 1。

### 1.1 流体动力学方程

选用一个固着于 “ $f$ -平面” 上的直角坐标系 ( $XOY$  平面) 和静止海面重合, 组成右手坐标系,  $Z$  轴向上为正, 于是描写正压海洋深度平均的运动方程组为:

$$\frac{\partial \zeta}{\partial t} + \frac{\partial(Hu)}{\partial x} + \frac{\partial(Hv)}{\partial y} = 0 \quad (1)$$

$$\begin{aligned} \frac{\partial u}{\partial t} + u \frac{\partial u}{\partial x} + v \frac{\partial u}{\partial y} &= -g \frac{\partial \zeta}{\partial x} + fv - \\ C^2 \frac{\sqrt{u^2 + v^2}}{H} u + \frac{\tau_x}{\rho H} + \epsilon \left( \frac{\partial^2 u}{\partial x^2} + \frac{\partial^2 u}{\partial y^2} \right) & \end{aligned} \quad (2)$$

$$\begin{aligned} \frac{\partial v}{\partial t} + u \frac{\partial v}{\partial x} + v \frac{\partial v}{\partial y} &= -g \frac{\partial \zeta}{\partial y} - fu - \frac{g}{C^2} \frac{\sqrt{u^2 + v^2}}{H} v + \\ \frac{\tau_y}{\rho H} + \epsilon \left( \frac{\partial^2 v}{\partial x^2} + \frac{\partial^2 v}{\partial y^2} \right) & \end{aligned} \quad (3)$$

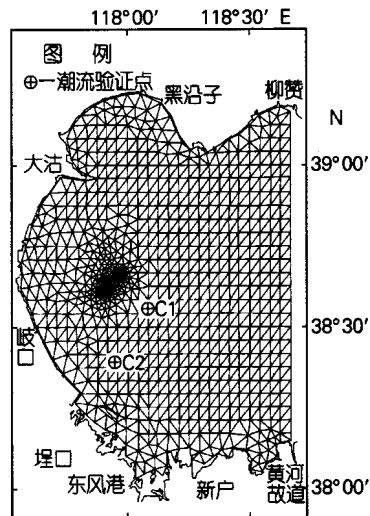


图 1 计算域与网格图  
Fig. 1 Computed area and compute grids

收稿日期: 2004-01-16; 修回日期: 2004-05-16

作者简介: 孙长青 (1957-), 男, 江苏新沂人, 高级工程师, 主要从事海洋环境及海洋环境影响评价等领域的研究工作, 电话: 0532-2032983, E-mail: sunty@ouc.edu.cn

式中:  $u, v$  分别为对应于  $x, y$  轴的深度平均流速分量;  $t$  为时间坐标;  $f$  为柯氏参数 ( $f = 2\Omega \sin \varphi$ ,  $\Omega$  为地转角速度,  $\varphi$  为地理纬度);  $g$  为重力加速度;  $H = h + \zeta$  ( $h$  和  $\zeta$  分别为自平均海面起算的水深和水位高度);  $\tau_x, \tau_y$  分别为对应于  $x, y$  方向水面上的风应力 ( $\tau_x = r^2 w^2 \cos \theta$ ,  $\tau_y = r^2 w^2 \sin \theta$ ;  $r^2$  为风应力系数, 其值约为 0.002 6,  $w$  为风速,  $\theta$  为风向角);  $\rho$  为海水密度;  $\epsilon$  为水平涡动粘滞系数;  $C = 4.64 / nH^{1/6}$  为 Chezy 系数 ( $\text{cm}^{1/2}/\text{s}$ ),  $n$  为表示海底粗糙度的 Manning 系数。

方程的定解条件为:

初始条件:  $t = 0$  时,  $u = u_0, v = v_0, \zeta = \zeta_0$

边界条件:

在开边界(水-水边界):  $\zeta = \zeta'$

在陆边界(水-陆边界)  $\vec{v} \cdot \vec{n} = 0$  (沿岸移动,  $\vec{n}$  为边界法线方向)

由方程(1)~(3)及定解条件构成了完整的二维浅海潮波的闭合定解方程组。

在实际计算中, 由于浅海较强的湍耗散作用, 总是取零值为初始条件, 而且任何初始能量经过一定时间后总要耗散掉, 故当计算达到一定时间长度后, 初始效应总会消失, 而只是由  $\zeta'$  这一谐振潮的惟一强迫函数在起作用, 显然对于  $\zeta'$  的取值, 要求具有满意的精度。

## 1.2 分步杂交方法

此方法是将方程(2)和(3)分为两步求解。

在前半步长,  $n\Delta t < t \leq (n + \frac{1}{2})\Delta t$  时, 用特征线方法求解方程:

$$\frac{1}{2} \frac{\partial u^{(1)}}{\partial t} + u^{(1)} \frac{\partial u^{(1)}}{\partial x} + v^{(1)} \frac{\partial u^{(1)}}{\partial y} = 0 \quad (4)$$

$$\frac{1}{2} \frac{\partial v^{(1)}}{\partial t} + u^{(1)} \frac{\partial v^{(1)}}{\partial x} + v^{(1)} \frac{\partial v^{(1)}}{\partial y} = 0 \quad (5)$$

在后半步长,  $(n + \frac{1}{2})\Delta t < t \leq (n + 1)\Delta t$  时, 用集中质量有限元方法求解方程:

$$\begin{aligned} \frac{1}{2} \frac{\partial u^{(2)}}{\partial t} &= -g \frac{\partial \zeta}{\partial x} + fv^{(2)} - \frac{g}{C^2} \frac{\sqrt{u^2 + v^2}}{H} u^{(2)} + \\ &\frac{\tau_x}{\rho H} + \epsilon \left( \frac{\partial^2 u^{(2)}}{\partial x^2} + \frac{\partial^2 u^{(2)}}{\partial y^2} \right) \end{aligned} \quad (6)$$

$$\begin{aligned} \frac{1}{2} \frac{\partial v^{(2)}}{\partial t} &= -g \frac{\partial \zeta}{\partial x} - fu^{(2)} - \frac{g}{C^2} \frac{\sqrt{u^2 + v^2}}{H} v^{(2)} + \\ &\frac{\tau_y}{\rho H} + \epsilon \left( \frac{\partial^2 v^{(2)}}{\partial x^2} + \frac{\partial^2 v^{(2)}}{\partial y^2} \right) \end{aligned} \quad (7)$$

## 1.3 连续方程

对连续方程(1), 则在一个整时间步长中采用与  $(u, v)$  时间交错的有限体积守恒格式。

## 1.4 计算域、网格设置及水界强迫函数<sup>[2]</sup>

计算海域位于  $118^{\circ}40'E$  以西的渤海湾海域(图1), 计算域内共有 822 个结点, 1533 个单元, 最小网格步长 200 m。计算时间步长  $\Delta t = 11.644$  s, 一个潮周期内运行 7 680 步。由于本文开头提到的该计算海域的潮汐、潮流性质, 水界强迫函数按下式输入。本次数值计算只研究潮波运动, 未考虑海面边界条件的风应力。

$$\zeta(t) = [(H_{K_1} + H_{O_1})/2] \cos[(\sigma_{O_1} + \sigma_{K_1})t/2 - (g_{O_1} + \sigma_{K_1})/2] + H_{M_2} \cos(\sigma_{M_2}t - g_{M_2})$$

式中:  $t$  为时间;  $H_{M_2}, H_{K_1}$  和  $H_{O_1}$  分别为  $M_2, K_1$  和  $O_1$  分潮潮汐调和常数振幅;  $g_{M_2}, g_{K_1}$  和  $g_{O_1}$  分别为  $M_2, K_1$  和  $O_1$  分潮潮汐调和常数位相;  $\sigma_{M_2}, \sigma_{K_1}$  和  $\sigma_{O_1}$  分别为  $M_2, K_1$  和  $O_1$  分潮圆频率;  $\zeta(t)$  表示合成水位值。

上式中等号右边第 1 项表示  $m_1$  平均日分潮, 第 2 项表示  $M_2$  半日分潮。 $m_1$  分潮的周期为 24.841 2 h,  $M_2$  分潮的周期为 12.420 6 h, 两者成倍数关系, 在数值计算时取 24.841 2 h 作为计算周期, 对  $m_1$  分潮和  $M_2$  分潮均能得到正确的潮致余流。水边界  $m_1$  分潮和  $M_2$  分潮调和常数是由整个渤海潮流数值计算获得。

## 2 计算结果

### 2.1 潮流验证

潮流验证共有两个<sup>[3]</sup>, 实测位置见图 1 中的 C1 ( $38^{\circ}32'36''$ ,  $118^{\circ}05'08''$ ) 和 C2 ( $38^{\circ}25'00''$ ,  $117^{\circ}57'12''$ ) 点, C1 点观测时间为 1989 年 7 月 5 日, C2 点观测时间为 2001 年 4 月 28 日。

首先建立  $M_2$  分潮和  $K_1$  分潮的数值模型, 分别进行调试计算和验证。图 2 为  $M_2$  分潮潮流验证玫瑰图, 图 3 为  $K_1$  分潮潮流验证玫瑰图。从图中可看出无论是  $M_2$  分潮还是  $K_1$  分潮均为逆时针向旋转, 实测与计算潮流玫瑰图的主轴方向一致, 最大流量值、位相等吻合良好。

### 2.2 同潮时线和等振幅线

图 4 和图 5 分别为计算  $M_2$  分潮和  $K_1$  分潮同潮时线和等振幅线, 实线为同潮时线, 虚线为等振幅线。

就  $M_2$  分潮而言, 潮波由北向南传播, 属于黄河口

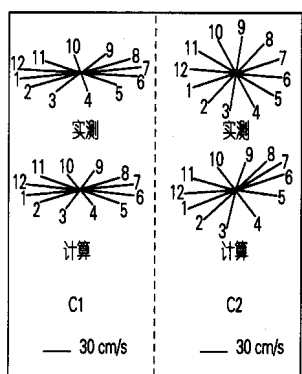
图 2  $M_2$  分潮潮流验证玫瑰图

Fig. 2 Observed and computed roses of tidal current for  $M_2$  constituent

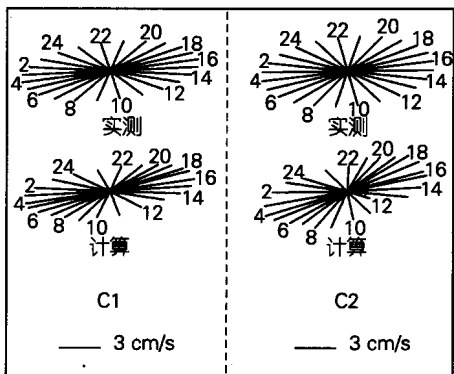
图 3  $K_1$  分潮潮流验证玫瑰图

Fig. 3 Observed and computed roses of tidal current for  $K_1$  constituent

附近的反时针半日潮潮流系统，同潮时线由 $60^\circ$ 左右增加到 $120^\circ$ 以上。等振幅线的特征为由东向西逐渐增大，振幅由湾口的 $20\text{ cm}$ 左右增加到湾底的 $100\text{ cm}$ 以上，两者相差 $80\text{ cm}$ 左右，在大沽附近可增加到近 $120\text{ cm}$ 。

对 $K_1$ 分潮来说，潮流也是由北向南传播的，但它属于渤海海峡中部砣矶岛附近的反时针日潮潮流系统，同潮时线由 $140^\circ$ 左右增加到 $170^\circ$ 以上。振幅由湾口的 $30\text{ cm}$ 左右增加到湾底的 $36\text{ cm}$ 左右。

### 2.3 潮流椭圆

潮流椭圆长轴方向表示最大流方向，长半轴长度表示最大流量值，短轴方向表示最小流方向，短半轴长度表示最小流量值。

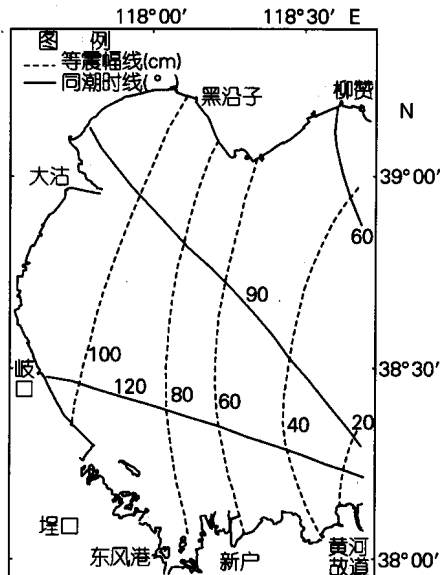
图 4  $M_2$  分潮同潮时线和等振幅线

Fig. 4 Cotidal chart and iso-amplitude curves for  $M_2$  constituent

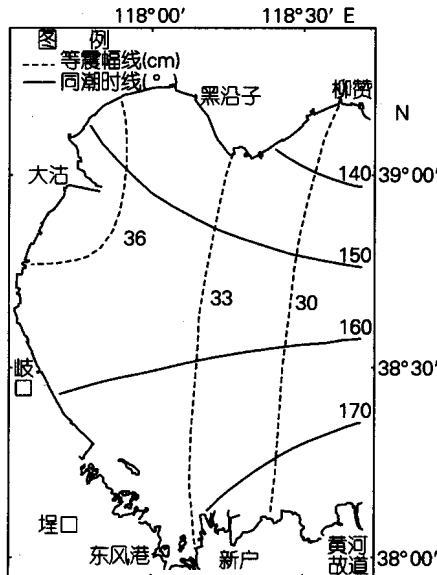
图 5  $K_1$  分潮同潮时线和等振幅线

Fig. 5 Cotidal chart and iso-amplitude curves for  $K_1$  constituent

$M_2$  分潮潮流椭圆分布见图 6，整个渤海湾内均为往复流，岸边附近流速较小，离岸较远区域流速较大，但总的来说流速大小较均匀，最大流速发生在黄河故道以北海域。

图 7 为  $K_1$  分潮潮流椭圆分布, 其特点也为往复流, 岸边附近流速较小, 但在黄河故道以北海域的流速明显大于其他区域, 其量值是其他区域的 2~5 倍。

## 2.4 计算潮流场

由于该计算海域的潮汐、潮流性质, 所给计算潮流场的水界强迫函数按 1.4 节中所示函数输入,

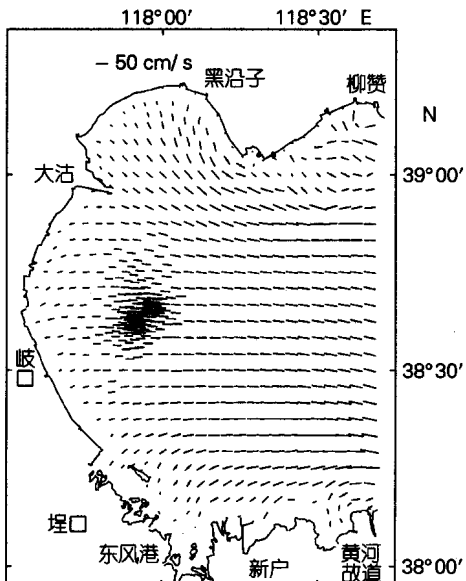


图 6  $M_2$  分潮潮流椭圆分布

Fig. 6 Distribution of tidal current ellipses for  $M_2$  constituent

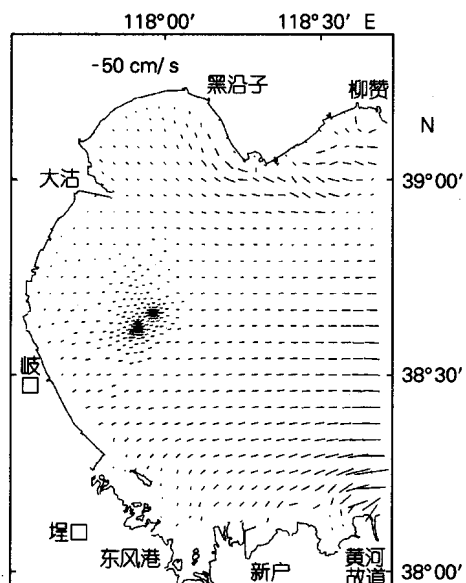


图 7  $K_1$  分潮潮流椭圆分布

Fig. 7 Distribution of tidal current ellipses for  $K_1$  constituent

即  $m_1 + M_2$ 。选东风港为参考港, 给出涨潮中间时(图 8)和落潮中间时(图 9)两个时刻的计算潮流场分布图。

涨潮中间时海水由渤海中部海域流入计算域, 计算域中部潮流流速大于岸边附近的流速。而落潮中间时海水由渤海湾内向东流出计算域, 进入渤海中部海域, 其趋势与涨潮流对应时刻相同, 但方向相反。最大涨潮流速为 92.3 cm/s, 最大落潮流速为 94.3 cm/s, 均发生在黄河故道以北海域。篇幅所限, 给出的图 8 和图 9 为最大流时刻的潮流场, 而未给出高低潮时刻的流场, 故水陆边界变动的有效性没能得到充分体现。

## 3 结语

渤海湾海域的半日分潮属于黄河口附近反时针潮波系统, 而日分潮属于渤海海峡中部砣矶岛附

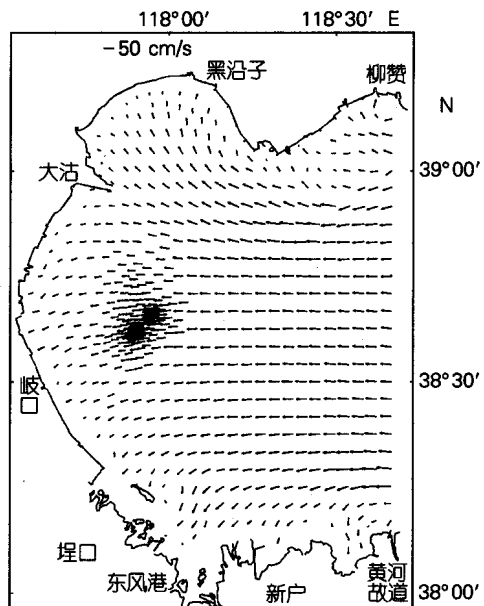


图 8 计算潮流场(涨潮中间时)

Fig. 8 Computed tidal current field (half tide during flood)

近的反时针潮波系统, 半日分潮振幅可达近 120 cm, 日分潮振幅仅 36 cm 左右, 半日分潮在此海域起主导作用。

从潮流椭圆分布来看,  $M_2$  分潮流速大小较均匀, 而  $K_1$  分潮流速变化较大, 但二者的往复流性质均较明显, 最大流速均发生在黄河故道以北海域。

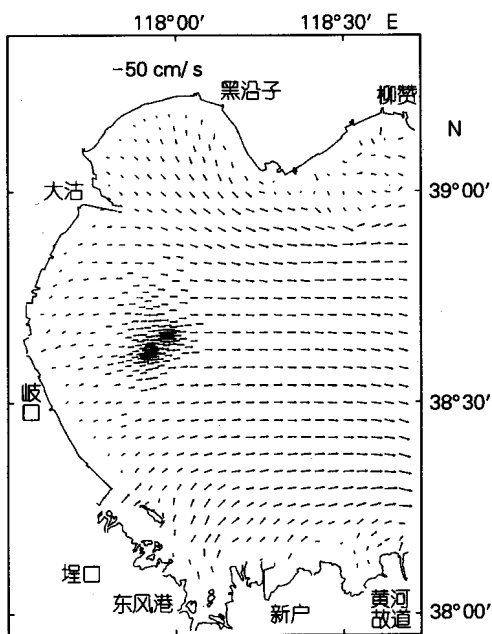


图 9 计算潮流场(落潮中间时)

Fig. 9 Computed tidal current field (half tide during ebb)

## Numerical computation of tidal current in Bohai Bay

SUN Chang-qing, GUO Yao-tong, ZHAO Ke-sheng

(Ocean University of China, Environment Science and Engineering College, Qingdao 266003, China)

Received: Jan., 16, 2004

Key words: Bohai Bay; tidal current; tidal wave; numerical computation

**Abstract:** Using the split steps finite element method, the varied-boundary two-dimensional numerical model of the tidal current in the Bohai Bay is constructed. The tidal wave and tidal current distributing pattern of the Bay is analyzed. Cotidal chart and iso-amplitude curves for  $M_2$  constituent, Cotidal chart and iso-amplitude curves for  $K_1$  constituent, distribution of tidal current ellipses as well as computed tidal current field has been received by calculation. The result of calculation is conformable to the field observations.

(本文编辑:刘珊珊)